



Eine Verallgemeinerung der Funk–Radon–Transformation für Kleinkreise

Michael Quellmalz

TU Chemnitz, Fakultät für Mathematik

**26. Rhein–Ruhr–Workshop
29. Januar 2016**

- ▶ **Sphäre** $\mathbb{S}^2 = \{\xi \in \mathbb{R}^3 : \|\xi\| = 1\}$
- ▶ **Funktion** $f: \mathbb{S}^2 \rightarrow \mathbb{C}$
- ▶ Kreise auf der Sphäre sind Schnitte der Sphäre mit Ebenen:

$$\{\eta \in \mathbb{S}^2 : \langle \xi, \eta \rangle = x\},$$

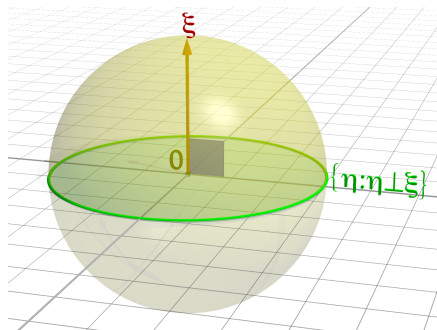
für $\xi \in \mathbb{S}^2, x \in [-1, 1]$

- ▶ **Funk-Radon-Transformation**

$$\mathcal{F}: C(\mathbb{S}^2) \rightarrow C(\mathbb{S}^2),$$

$$\mathcal{F}f(\xi) = \int_{\langle \xi, \eta \rangle = 0} f(\eta) d\lambda(\eta)$$

integriert f entlang aller Großkreise



- ▶ Sphäre $\mathbb{S}^2 = \{\xi \in \mathbb{R}^3 : \|\xi\| = 1\}$
- ▶ Funktion $f: \mathbb{S}^2 \rightarrow \mathbb{C}$
- ▶ Kreise auf der Sphäre sind Schnitte der Sphäre mit Ebenen:

$$\{\eta \in \mathbb{S}^2 : \langle \xi, \eta \rangle = x\},$$

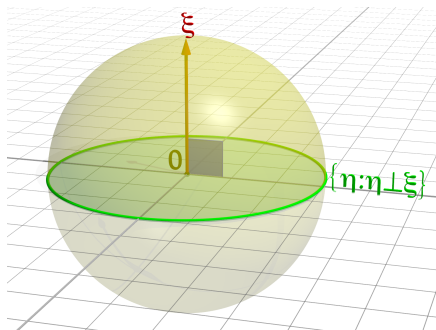
für $\xi \in \mathbb{S}^2, x \in [-1, 1]$

- ▶ Funk-Radon-Transformation

$$\mathcal{F}: C(\mathbb{S}^2) \rightarrow C(\mathbb{S}^2),$$

$$\mathcal{F}f(\xi) = \int_{\langle \xi, \eta \rangle = 0} f(\eta) d\lambda(\eta)$$

integriert f entlang aller Großkreise



- ▶ Sphäre $\mathbb{S}^2 = \{\xi \in \mathbb{R}^3 : \|\xi\| = 1\}$
- ▶ Funktion $f: \mathbb{S}^2 \rightarrow \mathbb{C}$
- ▶ Kreise auf der Sphäre sind Schnitte der Sphäre mit Ebenen:

$$\{\eta \in \mathbb{S}^2 : \langle \xi, \eta \rangle = x\},$$

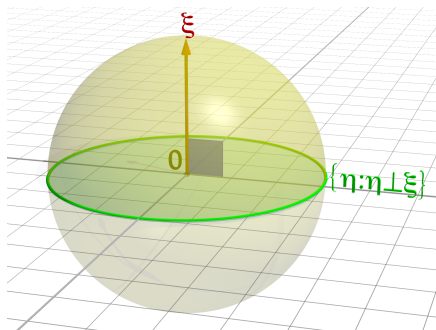
für $\xi \in \mathbb{S}^2, x \in [-1, 1]$

- ▶ **Funk-Radon-Transformation**

$$\mathcal{F}: C(\mathbb{S}^2) \rightarrow C(\mathbb{S}^2),$$

$$\mathcal{F}f(\xi) = \int_{\langle \xi, \eta \rangle = 0} f(\eta) d\lambda(\eta)$$

integriert f entlang aller Großkreise



Verallgemeinerte Radon-Transformation

[Salman, 2015]

Ersetzen 0 durch beliebigen Punkt

$$\zeta = (0, 0, z)^\top, \quad 0 \leq z < 1$$

im Inneren der Kugel.

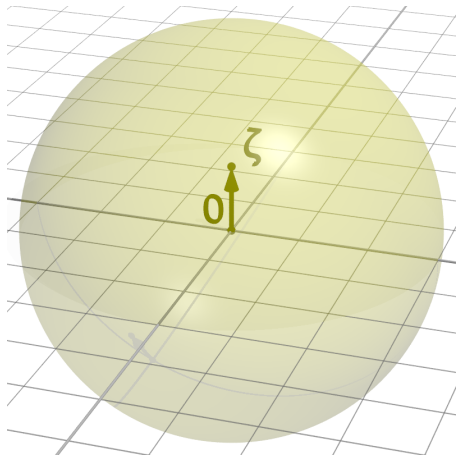
Kreis durch ζ ist

$$\{\eta \in \mathbb{S}^2 : \langle \xi, \eta \rangle = \underbrace{\langle \xi, \zeta \rangle}_{=z\xi_3}\}.$$

Definieren

$$\mathcal{U}: C(\mathbb{S}^2) \rightarrow C(\mathbb{S}^2),$$

$$\mathcal{U}f(\xi) = \int_{\langle \xi, \eta \rangle = z\xi_3} f(\eta) d\lambda(\eta).$$



Verallgemeinerte Radon-Transformation

[Salman, 2015]

Ersetzen 0 durch beliebigen Punkt

$$\zeta = (0, 0, z)^\top, \quad 0 \leq z < 1$$

im Inneren der Kugel.

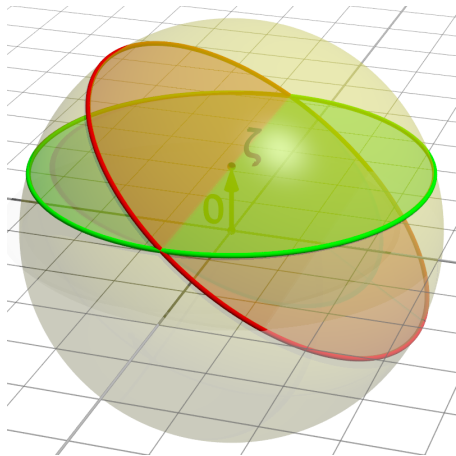
Kreis durch ζ ist

$$\{\eta \in \mathbb{S}^2 : \langle \xi, \eta \rangle = \underbrace{\langle \xi, \zeta \rangle}_{=z\xi_3}\}.$$

Definieren

$$\mathcal{U}: C(\mathbb{S}^2) \rightarrow C(\mathbb{S}^2),$$

$$\mathcal{U}f(\xi) = \int_{\langle \xi, \eta \rangle = z\xi_3} f(\eta) d\lambda(\eta).$$



Verallgemeinerte Radon-Transformation

[Salman, 2015]

Ersetzen 0 durch beliebigen Punkt

$$\zeta = (0, 0, z)^\top, \quad 0 \leq z < 1$$

im Inneren der Kugel.

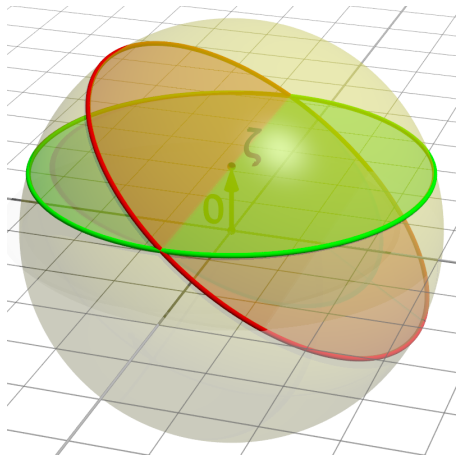
Kreis durch ζ ist

$$\{\eta \in \mathbb{S}^2 : \langle \xi, \eta \rangle = \underbrace{\langle \xi, \zeta \rangle}_{=z\xi_3}\}.$$

Definieren

$$\mathcal{U}: C(\mathbb{S}^2) \rightarrow C(\mathbb{S}^2),$$

$$\mathcal{U}f(\xi) = \int_{\langle \xi, \eta \rangle = z\xi_3} f(\eta) d\lambda(\eta).$$



Was über die Funk–Radon–Transformation bekannt ist

Satz [Strichartz, 1981]

Die Funk–Radon–Transformation

$$\mathcal{F}: L_e^2(\mathbb{S}^2) \rightarrow H_e^{1/2}(\mathbb{S}^2)$$

ist stetig und bijektiv.

Der Nullraum besteht aus den ungeraden Funktionen $f(\xi) = -f(-\xi)$.

Fragestellung

Wie verhält es sich mit der verallgemeinerten Radon–Transformation?

Was über die Funk–Radon–Transformation bekannt ist

Satz [Strichartz, 1981]

Die Funk–Radon–Transformation

$$\mathcal{F}: L_e^2(\mathbb{S}^2) \rightarrow H_e^{1/2}(\mathbb{S}^2)$$

ist stetig und bijektiv.

Der Nullraum besteht aus den ungeraden Funktionen $f(\xi) = -f(-\xi)$.

Fragestellung

Wie verhält es sich mit der verallgemeinerten Radon–Transformation?

Aus Großkreisen werden Kleinkreise

Definition

Definieren die Abbildung

$$h: \mathbb{S}^2 \rightarrow \mathbb{S}^2, \quad h = \pi^{-1} \circ \sigma \circ \pi$$

bestehend aus

1. Stereografischer Projektion $\pi: \mathbb{S}^2 \rightarrow \mathbb{R}^2$
2. Skalierung in der Ebene $\sigma: \mathbb{R}^2 \rightarrow \mathbb{R}^2, \mathbf{x} \mapsto \sqrt{\frac{1+z}{1-z}} \mathbf{x}$
3. Inverser stereografischer Projektion $\pi^{-1}: \mathbb{R}^2 \rightarrow \mathbb{S}^2$

Wir zeigen

h bildet Großkreise auf Kleinkreise durch ζ ab.

Aus Großkreisen werden Kleinkreise

Definition

Definieren die Abbildung

$$h: \mathbb{S}^2 \rightarrow \mathbb{S}^2, \quad h = \pi^{-1} \circ \sigma \circ \pi$$

bestehend aus

1. Stereografischer Projektion $\pi: \mathbb{S}^2 \rightarrow \mathbb{R}^2$
2. Skalierung in der Ebene $\sigma: \mathbb{R}^2 \rightarrow \mathbb{R}^2, \mathbf{x} \mapsto \sqrt{\frac{1+z}{1-z}} \mathbf{x}$
3. Inverser stereografischer Projektion $\pi^{-1}: \mathbb{R}^2 \rightarrow \mathbb{S}^2$

Wir zeigen

h bildet Großkreise auf Kleinkreise durch ζ ab.

Aus Großkreisen werden Kleinkreise

Definition

Definieren die Abbildung

$$h: \mathbb{S}^2 \rightarrow \mathbb{S}^2, \quad h = \pi^{-1} \circ \sigma \circ \pi$$

bestehend aus

1. Stereografischer Projektion $\pi: \mathbb{S}^2 \rightarrow \mathbb{R}^2$
2. Skalierung in der Ebene $\sigma: \mathbb{R}^2 \rightarrow \mathbb{R}^2, \mathbf{x} \mapsto \sqrt{\frac{1+z}{1-z}} \mathbf{x}$
3. Inverser stereografischer Projektion $\pi^{-1}: \mathbb{R}^2 \rightarrow \mathbb{S}^2$

Wir zeigen

h bildet Großkreise auf Kleinkreise durch ζ ab.

Aus Großkreisen werden Kleinkreise

Definition

Definieren die Abbildung

$$h: \mathbb{S}^2 \rightarrow \mathbb{S}^2, \quad h = \pi^{-1} \circ \sigma \circ \pi$$

bestehend aus

1. Stereografischer Projektion $\pi: \mathbb{S}^2 \rightarrow \mathbb{R}^2$
2. Skalierung in der Ebene $\sigma: \mathbb{R}^2 \rightarrow \mathbb{R}^2, \mathbf{x} \mapsto \sqrt{\frac{1+z}{1-z}} \mathbf{x}$
3. Inverser stereografischer Projektion $\pi^{-1}: \mathbb{R}^2 \rightarrow \mathbb{S}^2$

Wir zeigen

h bildet Großkreise auf Kleinkreise durch ζ ab.

Aus Großkreisen werden Kleinkreise

Definition

Definieren die Abbildung

$$h: \mathbb{S}^2 \rightarrow \mathbb{S}^2, \quad h = \pi^{-1} \circ \sigma \circ \pi$$

bestehend aus

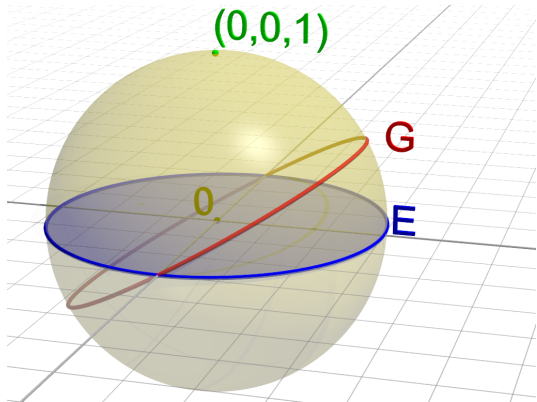
1. Stereografischer Projektion $\pi: \mathbb{S}^2 \rightarrow \mathbb{R}^2$
2. Skalierung in der Ebene $\sigma: \mathbb{R}^2 \rightarrow \mathbb{R}^2, \mathbf{x} \mapsto \sqrt{\frac{1+z}{1-z}} \mathbf{x}$
3. Inverser stereografischer Projektion $\pi^{-1}: \mathbb{R}^2 \rightarrow \mathbb{S}^2$

Wir zeigen

h bildet Großkreise auf Kleinkreise durch ζ ab.

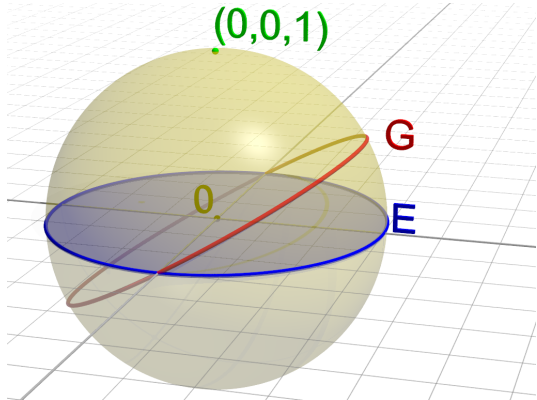
1) Stereografische Projektion π

- ▶ G ... Großkreis auf \mathbb{S}^2
- ▶ E ... Äquator von \mathbb{S}^2
- ▶ G schneidet E in zwei gegenüberliegenden Punkten (oder ist gleich E)
- ▶ $\pi(E) = E$
- ▶ $\pi(G)$ ist Kreis oder Gerade und schneidet $\pi(E)$ in zwei gegenüberliegenden Punkten



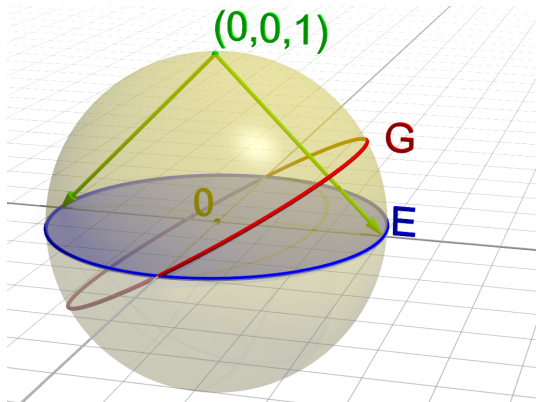
1) Stereografische Projektion π

- ▶ G ... Großkreis auf \mathbb{S}^2
- ▶ E ... Äquator von \mathbb{S}^2
- ▶ G schneidet E in zwei gegenüberliegenden Punkten (oder ist gleich E)
- ▶ $\pi(E) = E$
- ▶ $\pi(G)$ ist Kreis oder Gerade und schneidet $\pi(E)$ in zwei gegenüberliegenden Punkten



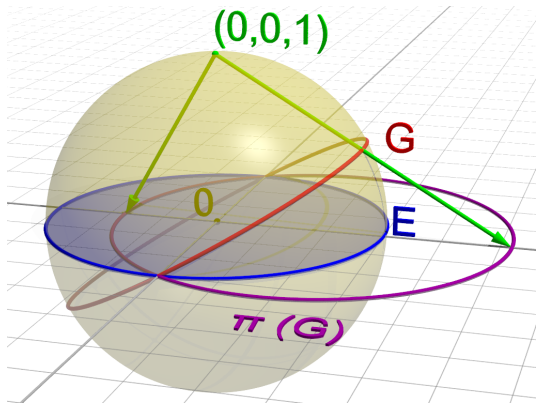
1) Stereografische Projektion π

- ▶ G ... Großkreis auf \mathbb{S}^2
- ▶ E ... Äquator von \mathbb{S}^2
- ▶ G schneidet E in zwei gegenüberliegenden Punkten (oder ist gleich E)
- ▶ $\pi(E) = E$
- ▶ $\pi(G)$ ist Kreis oder Gerade und schneidet $\pi(E)$ in zwei gegenüberliegenden Punkten



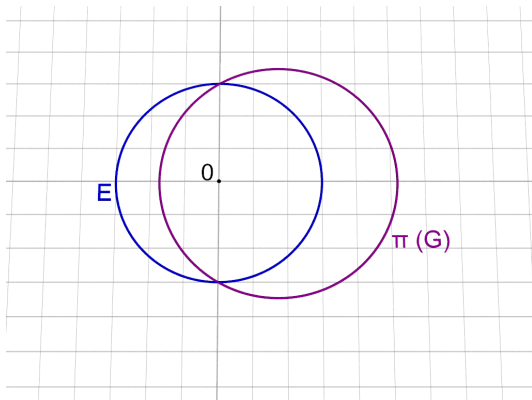
1) Stereografische Projektion π

- ▶ G ... Großkreis auf \mathbb{S}^2
- ▶ E ... Äquator von \mathbb{S}^2
- ▶ G schneidet E in zwei gegenüberliegenden Punkten (oder ist gleich E)
- ▶ $\pi(E) = E$
- ▶ $\pi(G)$ ist Kreis oder Gerade und schneidet $\pi(E)$ in zwei gegenüberliegenden Punkten



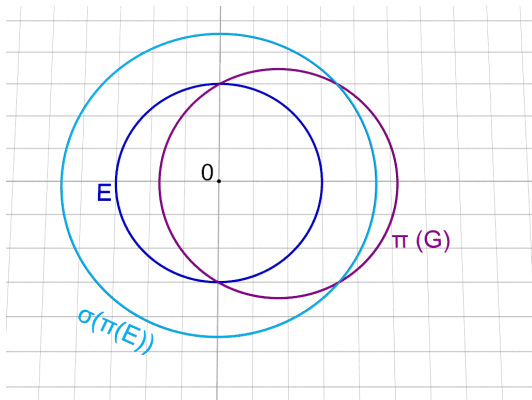
2) Skalierung σ in der Ebene

- ▶ Zentrische Streckung um 0 mit Faktor $s = \sqrt{\frac{1+z}{1-z}}$
- ▶ Einheitskreis wird zu Kreis $\sigma(\pi(E))$ mit Radius s
- ▶ $\sigma(\pi(G))$ schneidet diesen Kreis in gegenüberliegenden Punkten



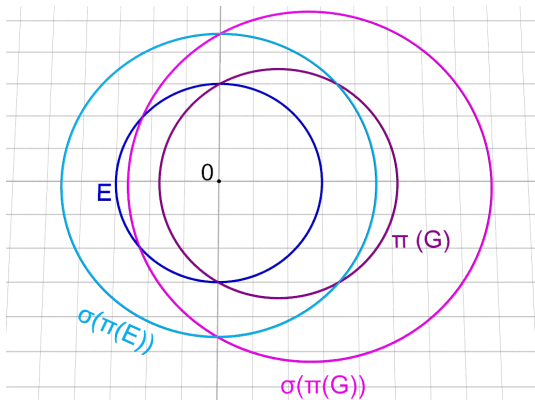
2) Skalierung σ in der Ebene

- ▶ Zentrische Streckung um 0 mit Faktor $s = \sqrt{\frac{1+z}{1-z}}$
- ▶ Einheitskreis wird zu Kreis $\sigma(\pi(E))$ mit Radius s
- ▶ $\sigma(\pi(G))$ schneidet diesen Kreis in gegenüberliegenden Punkten



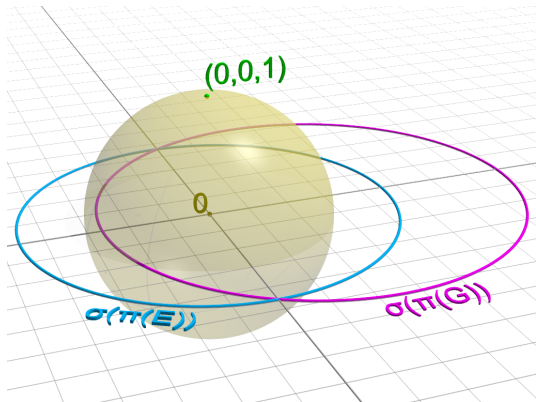
2) Skalierung σ in der Ebene

- ▶ Zentrische Streckung um 0 mit Faktor $s = \sqrt{\frac{1+z}{1-z}}$
- ▶ Einheitskreis wird zu Kreis $\sigma(\pi(E))$ mit Radius s
- ▶ $\sigma(\pi(G))$ schneidet diesen Kreis in gegenüberliegenden Punkten



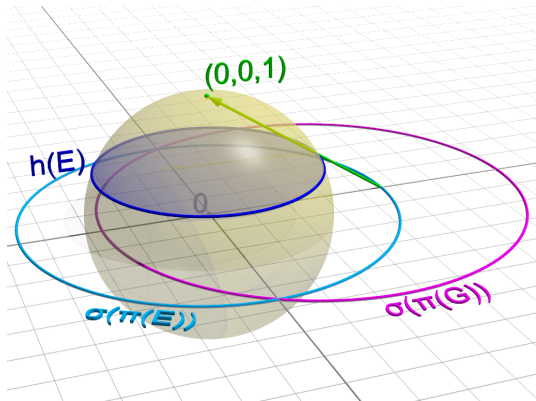
3) Inverse stereografische Projektion π^{-1}

- ▶ Kreis mit Radius s wird zu Breitenkreis zur Breite z ;
 $h(E)$
- ▶ $h(G) = \pi^{-1}(\sigma(\pi(G)))$
schneidet Breitenkreis z in gegenüberliegenden Punkten
- ▶ $h(G)$ ist Kleinkreis durch ζ



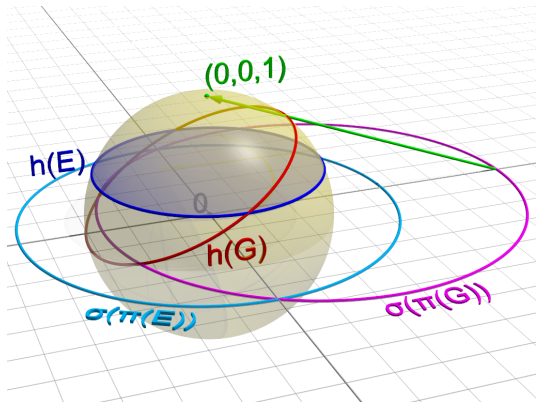
3) Inverse stereografische Projektion π^{-1}

- ▶ Kreis mit Radius s wird zu Breitenkreis zur Breite z ;
 $h(E)$
- ▶ $h(G) = \pi^{-1}(\sigma(\pi(G)))$ schneidet Breitenkreis z in gegenüberliegenden Punkten
- ▶ $h(G)$ ist Kleinkreis durch ζ



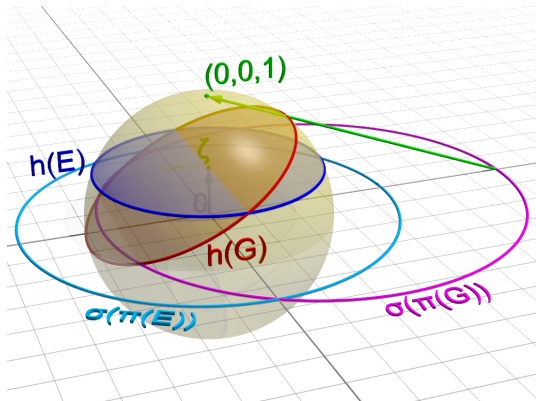
3) Inverse stereografische Projektion π^{-1}

- ▶ Kreis mit Radius s wird zu Breitenkreis zur Breite z ;
 $h(E)$
- ▶ $h(G) = \pi^{-1}(\sigma(\pi(G)))$
schneidet Breitenkreis z in gegenüberliegenden Punkten
- ▶ $h(G)$ ist Kleinkreis durch ζ



3) Inverse stereografische Projektion π^{-1}

- ▶ Kreis mit Radius s wird zu Breitenkreis zur Breite z ;
 $h(E)$
- ▶ $h(G) = \pi^{-1}(\sigma(\pi(G)))$
schneidet Breitenkreis z in gegenüberliegenden Punkten
- ▶ $h(G)$ ist Kleinkreis durch ζ



Theorem

Sei $z \in [0, 1)$. Es gilt die Zerlegung von \mathcal{U} in die Operatoren $\mathcal{M}, \mathcal{F}, \mathcal{N}: L^2(\mathbb{S}^2) \rightarrow L^2(\mathbb{S}^2)$

$$\mathcal{U} = \mathcal{N}\mathcal{F}\mathcal{M}.$$

Dabei ist für $f \in C(\mathbb{S}^2)$

- ▶ $\mathcal{M}f(\boldsymbol{\xi}) = \frac{\sqrt{1-z^2}}{1+z\xi_3} [f \circ h](\boldsymbol{\xi})$
- ▶ \mathcal{F} ... Funk-Radon-Transformation
- ▶ $\mathcal{N}f(\boldsymbol{\xi}) = f\left(\frac{1}{\sqrt{1-z^2\xi_3^2}}\left(\xi_1, \xi_2, \sqrt{1-z^2\xi_3^2}\right)\right)$

Nullraum von \mathcal{U}

Satz

$\mathbf{R} \dots$ Punktspiegelung der Sphäre
um den Punkt ζ

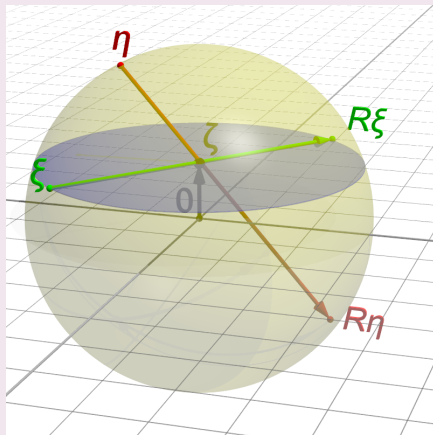
$$f \in L^2(\mathbb{S}^2)$$

Es gilt

$$\mathcal{U}f = 0$$

genau dann, wenn für fast alle $\eta \in \mathbb{S}^2$

$$f(\eta) = -f(\mathbf{R}\eta) \frac{1 - z^2}{1 + z^2 - 2z\eta_3}.$$



Nullraum von \mathcal{U}

Satz

$\mathbf{R} \dots$ Punktspiegelung der Sphäre
um den Punkt ζ

$$f \in L^2(\mathbb{S}^2)$$

Es gilt

$$\mathcal{U}f = 0$$

genau dann, wenn für fast alle $\eta \in \mathbb{S}^2$

$$f(\eta) = -f(\mathbf{R}\eta) \frac{1 - z^2}{1 + z^2 - 2z\eta_3}.$$

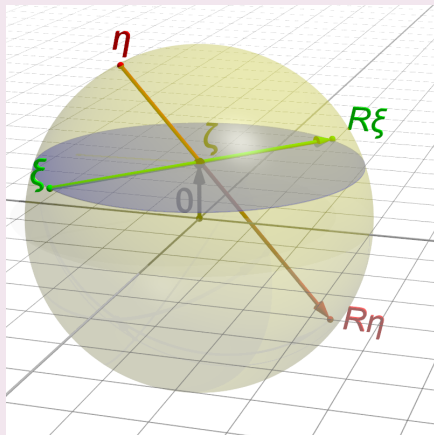


Bild von \mathcal{U}

Satz

Die verallgemeinerte Radon-Transformation

$$\mathcal{U}: \tilde{L}_e^2(\mathbb{S}^2) \rightarrow H_e^{1/2}(\mathbb{S}^2)$$

ist stetig und bijektiv.

- ▶ $\tilde{L}_e^2(\mathbb{S}^2) = \left\{ f \in L^2(\mathbb{S}^2) \mid f(\boldsymbol{\eta}) = f(\mathbf{R}\boldsymbol{\eta}) \frac{1 - z^2}{1 + z^2 - 2z\eta_3} \right\}$
- ▶ $H_e^{1/2}(\mathbb{S}^2)$... Sobolevraum der Glattheit 1/2, der nur gerade Funktionen enthält

Beweisidee

Zeigen

$$U = \mathcal{N}\mathcal{F}\mathcal{M}: \tilde{L}^2(\mathbb{S}^2) \rightarrow H_e^{1/2}(\mathbb{S}^2)$$

ist stetig und bijektiv.

- ▶ $\mathcal{M}: \tilde{L}_e^2(\mathbb{S}^2) \rightarrow L_e^2(\mathbb{S}^2)$ ist unitär
- ▶ $\mathcal{F}: L_e^2(\mathbb{S}^2) \rightarrow H_e^{1/2}(\mathbb{S}^2)$ ist stetig und bijektiv
- ▶ $\mathcal{N}, \mathcal{N}^{-1}: L_e^2(\mathbb{S}^2) \rightarrow L_e^2(\mathbb{S}^2)$ sind stetig und
 $\mathcal{N}, \mathcal{N}^{-1}: H_e^1(\mathbb{S}^2) \rightarrow H_e^1(\mathbb{S}^2)$ sind stetig
- ▶ $\mathcal{N}: H_e^{1/2}(\mathbb{S}^2) \rightarrow H_e^{1/2}(\mathbb{S}^2)$ ist stetig und bijektiv (als Interpolationsoperator)

Beweisidee

Zeigen

$$U = \mathcal{N}\mathcal{F}\mathcal{M}: \tilde{L}^2(\mathbb{S}^2) \rightarrow H_e^{1/2}(\mathbb{S}^2)$$

ist stetig und bijektiv.

- ▶ $\mathcal{M}: \tilde{L}_e^2(\mathbb{S}^2) \rightarrow L_e^2(\mathbb{S}^2)$ ist unitär
- ▶ $\mathcal{F}: L_e^2(\mathbb{S}^2) \rightarrow H_e^{1/2}(\mathbb{S}^2)$ ist stetig und bijektiv
- ▶ $\mathcal{N}, \mathcal{N}^{-1}: L_e^2(\mathbb{S}^2) \rightarrow L_e^2(\mathbb{S}^2)$ sind stetig und
 $\mathcal{N}, \mathcal{N}^{-1}: H_e^1(\mathbb{S}^2) \rightarrow H_e^1(\mathbb{S}^2)$ sind stetig
- ▶ $\mathcal{N}: H_e^{1/2}(\mathbb{S}^2) \rightarrow H_e^{1/2}(\mathbb{S}^2)$ ist stetig und bijektiv (als Interpolationsoperator)

Beweisidee

Zeigen

$$U = \mathcal{N}\mathcal{F}\mathcal{M}: \tilde{L}^2(\mathbb{S}^2) \rightarrow H_e^{1/2}(\mathbb{S}^2)$$

ist stetig und bijektiv.

- ▶ $\mathcal{M}: \tilde{L}_e^2(\mathbb{S}^2) \rightarrow L_e^2(\mathbb{S}^2)$ ist unitär
- ▶ $\mathcal{F}: L_e^2(\mathbb{S}^2) \rightarrow H_e^{1/2}(\mathbb{S}^2)$ ist stetig und bijektiv
- ▶ $\mathcal{N}, \mathcal{N}^{-1}: L_e^2(\mathbb{S}^2) \rightarrow L_e^2(\mathbb{S}^2)$ sind stetig und
 $\mathcal{N}, \mathcal{N}^{-1}: H_e^1(\mathbb{S}^2) \rightarrow H_e^1(\mathbb{S}^2)$ sind stetig
- ▶ $\mathcal{N}: H_e^{1/2}(\mathbb{S}^2) \rightarrow H_e^{1/2}(\mathbb{S}^2)$ ist stetig und bijektiv (als Interpolationsoperator)

Beweisidee

Zeigen

$$U = \mathcal{N}\mathcal{F}\mathcal{M}: \tilde{L}^2(\mathbb{S}^2) \rightarrow H_e^{1/2}(\mathbb{S}^2)$$

ist stetig und bijektiv.

- ▶ $\mathcal{M}: \tilde{L}_e^2(\mathbb{S}^2) \rightarrow L_e^2(\mathbb{S}^2)$ ist unitär
- ▶ $\mathcal{F}: L_e^2(\mathbb{S}^2) \rightarrow H_e^{1/2}(\mathbb{S}^2)$ ist stetig und bijektiv
- ▶ $\mathcal{N}, \mathcal{N}^{-1}: L_e^2(\mathbb{S}^2) \rightarrow L_e^2(\mathbb{S}^2)$ sind stetig und
 $\mathcal{N}, \mathcal{N}^{-1}: H_e^1(\mathbb{S}^2) \rightarrow H_e^1(\mathbb{S}^2)$ sind stetig
- ▶ $\mathcal{N}: H_e^{1/2}(\mathbb{S}^2) \rightarrow H_e^{1/2}(\mathbb{S}^2)$ ist stetig und bijektiv (als Interpolationsoperator)

Inversionsformel

Satz

Seien $z \in [0, 1)$ und $f \in \tilde{L}_c^2(\mathbb{S}^2)$. Für $\eta \in \mathbb{S}^2$ gilt

$$f(\eta) = \frac{1-z^2}{2\pi(1-zv)} \frac{d}{du} \int_0^u \int_{\mathcal{I}_z(\eta, w)} \mathcal{U}f \left(\frac{\left(\sqrt{1-z^2 + \xi_3^2}(\xi_1, \xi_2), \xi_3 \right)}{\sqrt{1-z^2 + z^2 \xi_3^2}} \right) ds(\xi) \cdot \frac{dw}{\sqrt{u^2 - w^2}} \Big|_{u=1}.$$

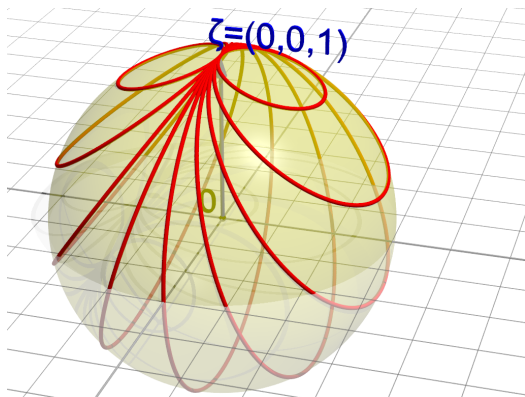
Dabei ist ds die Bogenlänge auf dem Kreis

$$\mathcal{I}_z(\eta, w) = \left\{ \xi \in \mathbb{S}^2 \mid \left\langle \xi, \left(\sqrt{1 + \eta_3^2 - 2z\eta_3}(\eta_1, \eta_2), z - \eta_3 \right) \right\rangle = \frac{\sqrt{1-w^2}}{z\eta_3 - 1} \right\}.$$

Der Fall $z = 1$ Spherical Slice Transform

[Abouelaz & Daher, 1993]

$$\mathcal{U}f(\xi) = \int_{\langle \xi, \eta \rangle = \xi_3} f(\eta) ds(\eta)$$



- ▶ „Kreise gehen durch den Nordpol“
- ▶ Ist injektiv für alle beschränkten Funktionen

[Rubin, 2015]

Ausgewählte Literatur



P. Funk.

Über Flächen mit lauter geschlossenen geodätischen Linien.

Math. Ann., 74(2):278 – 300, 1913.



Y. Salman.

An inversion formula for the spherical transform in S^2 for a special family of circles of integration.

Anal. Math. Phys., Advance online publication, 2015.



M. Quellmalz.

A generalization of the Funk–Radon transform to circles passing through a fixed point.

Preprint, Fakultät für Mathematik, TU Chemnitz 2015.

\endinput